

# 轴对称空间电荷透镜中的电子云

郁 庆 长

(中国科学院高能物理研究所, 北京)

## 摘要

空间电荷透镜的聚焦特性决定于其电子云的大小、形状和密度分布。本文利用数值与解析方法讨论了这些参量。

在空间电荷透镜中存在着被电磁场约束的电子云, 它是由阴极发射或气体电离产生的。透镜对离子束的聚焦特性决定于电子云的状态。在多数文献中这种电子云被近似地认为处于平衡态<sup>[1]</sup>。对于一个轴对称透镜, 电子的正则角动量守恒。采用圆柱坐标系 $(z, r, \varphi)$ , 电子的分布函数  $f$  可写作<sup>[2]</sup>

$$f = n_0 \left( \frac{m}{2\pi kT} \right)^{3/2} \exp \left[ -\frac{1}{kT} (H - \omega P) \right], \quad (1)$$

$$H = \frac{1}{2} mv^2 - eU, \quad P = mr\nu_\varphi - erA_\varphi. \quad (2)$$

这里  $H$  为 Hamilton 函数,  $P$  为正则角动量,  $e$  为电子电荷的绝对值,  $m$  为电子质量,  $T$  为电子温度,  $k$  为 Boltzmann 常数,  $v$  为电子速度,  $U$  为电位,  $A_\varphi$  为磁场矢量位的角向分量,  $n_0$  与  $\omega$  为常数。式 (1) 可进一步化作

$$f = n \left( \frac{m}{2\pi kT} \right)^{3/2} \exp \left\{ -\frac{m}{2kT} [v_z^2 + v_r^2 + (v_\varphi - \omega r)^2] \right\}, \quad (3)$$

$$n = n_0 \exp \left[ \frac{e}{kT} (\psi - \psi_0) \right], \quad (4)$$

$$\psi = U + \frac{m\omega^2 r^2}{2e} - \omega r A_\varphi. \quad (5)$$

$n$  为电子密度,  $\psi$  为修正位<sup>[3]</sup>。如选择  $\psi_0$  等于  $\psi$  的最大值, 则  $n_0$  为电子最大密度,  $\omega$  显然是电子的平均角速度。

Poisson 方程

$$\frac{1}{r} \frac{\partial}{\partial r} \left( r \frac{\partial U}{\partial r} \right) + \frac{\partial^2 U}{\partial z^2} = \frac{en}{\epsilon_0} \quad (6)$$

可改写为

$$\frac{1}{r} \frac{\partial}{\partial r} \left( r \frac{\partial \psi}{\partial r} \right) + \frac{\partial^2 \psi}{\partial z^2} = -\frac{en_0}{\epsilon_0} \exp \left[ \frac{e}{kT} (\psi - \psi_0) \right]. \quad (7)$$

此处  $\gamma$  为磁约束因子<sup>1)</sup>

$$\gamma = \frac{2\epsilon_0\omega}{en} \left( B_z - \frac{m\omega}{e} \right) - 1, \quad (8)$$

$\epsilon_0$  为真空介电常数,  $B_z$  为轴向磁感应强度。

当  $n_0, T, \omega$  已知时(有时用  $n = n_0$  处的  $\gamma$  值  $\gamma_0$  代替  $\omega$  更方便一些), 利用文[3]所讨论的数值方法可求解方程(7), 由此可算出电子密度分布。图1和图2画出了两个透镜中的电子云和  $r(z, 0)$ ,  $n(z, 0)$  和  $R(z)$  曲线,  $R(z)$  是电子云的半径。下面简单讨论两类透镜。

1. 长透镜(图1). 对于这种透镜除两端的部分外可以认为电子云参数与  $z$  无关, 此时方程(7)可改写为

$$\frac{1}{r} \frac{\partial}{\partial r} \left( r \frac{\partial \phi}{\partial r} \right) = \frac{en_0}{\epsilon_0} \left\{ \exp \left[ \frac{e}{kT} (\phi - \phi_0) \right] - \gamma_0 - 1 \right\}. \quad (9)$$

$n_0, \phi_0, \gamma_0$  为轴上的  $n, \phi, \gamma$ 。注意  $\gamma_0 + 1 = (\gamma + 1) \exp \left[ \frac{e}{kT} (\phi - \phi_0) \right]$ 。当  $\phi - \phi_0$  较小时  $\exp \left[ \frac{e}{kT} (\phi - \phi_0) \right] = 1 + \frac{e}{kT} (\phi - \phi_0)$ , 上式的解为

$$\phi = \phi_0 + \frac{kT\gamma_0}{e} [1 - I_0(r/\lambda_D)]. \quad (10)$$

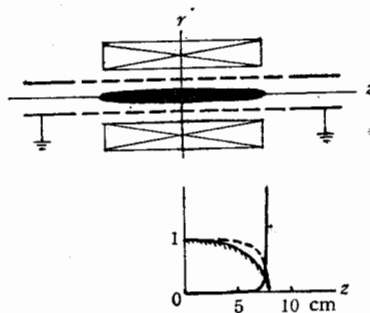


图1 用于 MeV 级离子束的长空间电荷透镜中的电子云

$n_0 = 10^{10} \text{ cm}^{-3}$ ,  $kT = 20 \text{ eV}$ ,  $\omega = 10^9 \text{ s}^{-1}$ ,  
 $B_{\max} = 0.09 \text{ T}$ , 最高电压  $2 \text{ kV}$ .

|||||  $R/R_{\max}$  ---  $n/n_0$  ——  $\gamma$

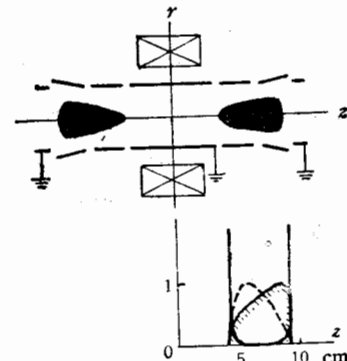


图2 文[4]所报道的空间电荷透镜中的电子云

$n_0 = 10^9 \text{ cm}^{-3}$ ,  $\omega = 5 \times 10^8 \text{ s}^{-1}$ ,  $B_{\max} = 0.057 \text{ T}$ ,  
其余参数同图1.

|||||  $R/R_{\max}$  ---  $n/n_0$  ——  $\gamma$

$\lambda_D = \left( \frac{\epsilon_0 k T}{e^2 n_0} \right)^{\frac{1}{2}}$  为 Debye 长度,  $I_0$  为零阶修正 Bessel 函数, 当  $\rho$  较大时  $I_0(\rho) \approx \sqrt{\frac{1}{2\pi\rho}} \times \exp \rho$ 。可以认为电子云边界处  $\frac{e}{kT} (\phi - \phi_0) \approx -1$ , 由此得到

$$R \approx -\lambda_D \ln \gamma_0. \quad (11)$$

1) 文[3]中定义的磁约束因子  $\Gamma = \gamma + 1$ , 今后将称  $\gamma$  为磁约束因子。

显然  $\gamma_0$  必须大于 0, 当  $\gamma_0$  增加时  $R$  减小。对于实用的透镜  $R$  应大于  $4\lambda_D$ , 即  $\gamma_0$  应小于 0.02。此外当  $T$  增加或  $n_0$  减少时  $R$  增加。

2. 短透镜。图 2 是我国研制的一个空间电荷透镜<sup>[4]</sup>。计算表明它有两个电子云, 分别位于两侧电位较高的区域。这里式(7)的  $\frac{\partial^2 \phi}{\partial z^2}$  项不可省略, 但作为粗略近似仍可认为  $R(z) \approx -\lambda_D \ln \gamma(z, 0)$ 。因为电子云中  $\gamma$  较小, 由式(8)可得

$$n(z, 0) \approx \frac{2\varepsilon_0 \omega}{e} B_z(z, 0), R(z) \approx -\left(\frac{kT}{2e\omega B_z(z, 0)}\right)^{1/2} \ln \gamma(z, 0). \quad (12)$$

由此可知在电子云中磁场较强的一边电子密度较高而半径较小。这和计算结果一致。

式(8)还可改写为

$$\omega^2 - \frac{e}{m} B_z \omega + \frac{1}{4} (1 + \gamma) \left(\frac{e}{m} B_c\right)^2 = 0. \quad (13)$$

此处  $B_c = \left(\frac{2mn}{\varepsilon_0}\right)^{1/2}$  被称为临界磁感应强度, 显然  $B_z \geq \sqrt{1 + \gamma} B_c$  时上式才有  $\omega$  的实数解。

上述理论没有考虑电子与残余气体原子的碰撞, 由于这种碰撞, 电子将向外扩散最后损失在电极上。下面研究这一碰撞对电子云的影响。仅讨论长透镜, 假定它依靠电子对气体的电离作用补充电子, 根据连续性方程

$$\frac{1}{r} \frac{\partial}{\partial r} (nr\nu_r) = Zn, \quad (14)$$

并认为电子云中心区域密度是均匀的, 可得

$$\nu_r = \frac{1}{2} Zr. \quad (15)$$

$Z$  为电离频率。电子径向流体运动方程为

$$\nu_r \frac{\partial \nu_r}{\partial r} = -\frac{e}{m} E_r - \frac{e}{m} \omega B_z r + \omega^2 r - \frac{kT}{mn} \frac{\partial n}{\partial r} - (\nu + Z)\nu_r. \quad (16)$$

$\nu$  为电子-原子碰撞的动量传输频率, 将式(15)代入得

$$\frac{\partial \phi}{\partial r} = \frac{kT}{en} \frac{\partial n}{\partial r}, \quad (17)$$

$$\phi = U + \frac{m\omega^2 r^2}{2e} - \omega r A_\varphi - \frac{m}{4e} Z(\nu + 1.5Z)r^2. \quad (18)$$

式(18)和式(4)的差别仅在于多了一个较小的碰撞项。类似地可以导出

$$R = -\lambda_D \ln \gamma, \quad (19)$$

$$\gamma = \frac{2\varepsilon_0}{en} \left[ \omega B_z - \frac{m\omega^2}{e} + \frac{m}{2e} Z(\nu + 1.5Z) \right] - 1. \quad (20)$$

因此我们认为, 在考虑碰撞的情况下, 只要进行适当修正, 平衡态理论作为一种近似仍然可以应用。当然, 平衡态理论本身不能确定  $n_0$ ,  $T$ ,  $\omega$  等参量的值, 要确定这些参量需要研究电子云中电子的产生和输运过程。

## 参 考 文 献

- [1] A. И. Морозов и С. В. Лебедев, *Вопросы Теории Плазмы*, 8(1974), 247.
- [2] L. D. Landau and E. M. Lifshitz, *Statistical Physics, Part 1*, Pergamon, Oxford, 1980, 11.
- [3] 郁庆长, 原子能科学技术, 21(1987), 666.
- [4] 邱宏等, 高能物理与核物理, 7(1983), 583.

## ELECTRON CLOUDS IN AXIAL SYMMETRIC SPACE-CHARGE LENSES

YU QINGCHANG

(*Institute of High Energy Physics, Academia Sinica*)

### ABSTRACT

The focusing properties of a space-charge lens depend on the size, shape and density distribution of its electron cloud. In this paper these parameters are discussed by both numerical and analytical methods.